

(HUANJING KEXUE)

ENVIRONMENTAL SCIENCE

第37卷 第4期

Vol.37 No.4

2016

中国科学院生态环境研究中心 主办

科学出版社出版



ENVIRONMENTAL SCIENCE

第 37 卷 第 4 期 2016 年 4 月 15 日

目 次

2013年 12月上海市重度污染期间细颗粒物化学特征与输送轨迹影响
一一一一一一一一一一一一一一一一一一一一一一一一一一一一一一一一一一一一一一
利用 SPAMS 研究华北乡村站点(曲周)夏季大气单颗粒物老化与混合状态 ········ 黄子龙,曾立民,董华斌,李梅,朱彤(1188)
南京大气气溶胶混合态与云凝结核沾化特征研究 朱麟, 与嫣, 郑车, 李时政, 土利朋(1199)
南京大气气溶胶混合态与云凝结核活化特征研究 朱麟,马嫣,郑军,李时政,王利朋(1199) 北京地区不同天气条件下气溶胶数浓度粒径分布特征研究 苏捷,赵普生,陈一娜(1208) 重庆市主城区 PM _{2.5} 时空分布特征 刘永林,孙启民,钟明洋,钟部卿,雒昆利(1219) 大气细颗粒物中有机碳和元素碳监测方法对比 庞博,吉东生,刘子锐,朱彬,王跃思(1230)
里庆印土城区 PM _{2.5} 时全分布特值
深圳市大气中全氟化合物的残留特征 何鹏飞,张鸿,李静,何龙,罗骥,刘国卿,沈金灿,杨波,崔晓宇(1240)
北京上甸子站大气 CO_2 及 $\delta^{13}C(CO_2)$ 本底变化 ······················· 夏玲君,周凌晞,刘立新,张根(1248)
梅雨期大学宿舍室内生物气溶胶浓度及粒径分布 刘婷,李露,张家泉,占长林,刘红霞,郑敬茹,姚瑞珍,曹军骥(1256)
城市黑皇水体空气微生物污染及健康风险 · · · · · · · · · · · · · · · · · · ·
城市黑臭水体空气微生物污染及健康风险····································
·····································
西安市地表灰尘中多环芳烃分布特征与来源解析
PDMS 基涂层活性炭对甲苯、苯和丙酮吸附研究 ····································
海南东北部浜海湿地沉枳物微量元素分布特征、来源及污染评价 张卫坤, 甘华阳, 闭向阳, 王家生(1295)
曹妃甸围填海土壤重金属积累的磁化率指示研究 薛勇,周倩,李远,章海波,胡雪峰,骆永明(1306)
滇南蒙自地区降水稳定同位素特征及其水汽来源 李广,章新平,许有鹏,宋松,王跃峰,季晓敏,项捷,杨洁(1313)
江苏省浅水湖泊表层沉积物重金属 GIS 空间分布及生态风险评价 李莹杰,张列宇,吴易雯,李曹乐,杨天学,唐军(1321)
城市景观水体甲基汞的形成机制及微宇宙模拟研究
我国北方温带水库——周村水库季节性热分层现象及其水质响应特性
曾明正,黄廷林,邱晓鹏,王亚平,史建超,周石磊,刘飞(1337) 额尔齐斯河源区融雪期积雪与河流的水化学特征
额尔齐斯河源区融雪期积雪与河流的水化学特征 ····································
太原汾河景区浮游植物群洛结构及具与外境因于天系分析 ··· 冯佳, 郭宇宁, 土飞, 邑俊平, 对琪, 谢树连, 崔单, 张建氏(1353)
铜陵巾冲流机积初中间化和尺间化颜生物分布特值····································
基流对业恐审农业流域炎系制国的贝制研究 ····································
里仄削山衣坛石俗承与地下仍二氮色移及氮理里怕异
田天小件机状初级瞬种有机灰石架存证及评价 ····································
环大湖不同姓居河流水休磁的时穴分布蛙征
高米与北动土在下水休山不同形态磁的粉量分布扣律
报关与机切六行 水体下小内心心两时效量为40% 1413 水皮、子为、子八扇、黄为、木石树(1413
告改性高岭土覆盖对底泥与上覆水之间磷迁移转化的影响 ·············· 章喆 林建伟 詹艳 王虹(1427)
电化学还原-氧化工艺降解 4-氯酚的毒性研究
额尔齐斯河源区融雪期积雪与河流的水化学特征
多环芳烃及其衍生物在北京典型污水处理厂中的存在及去除 乔梦,齐维晓,赵旭,刘会娟,曲久辉(1451)
高含氟的光伏废水反硝化可行性及经济性分析 ························李祥,朱亮,黄勇,杨朋兵,崔剑虹,马航(1467) 连续流反应器短程硝化的快速启动与维持机制 ·······························吴鹏,张诗颖,宋吟玲,徐乐中,沈耀良(1472)
连续流反应器短程硝化的快速启动与维持机制 吴鹏,张诗颖,宋吟玲,徐乐中,沈耀良(1472)
反硝化颗粒污泥在纳米零价铁胁迫下的性能恢复 王翻翻,钱飞跃,沈耀良,王建芳,张月茹,刘郭洵(1478)
低浓度环丙沙星对曝气生物滤池生物膜硝化过程及硝化微生物的作用影响
低碳源条件下改良双污泥系统脱氮除磷优化研究····································
低碳源条件下改良双污泥系统脱氮除磷优化研究····································
一一一一一一一一一一一一一一一一一一一一一一一一一一一一一一一一一一一一一
短期保护性耕作措施对大豆-冬小麦轮作系统温室气体排放的影响 … 谢燕,陈曦,胡正华,陈书涛,张寒,凌慧,申双和(1499)
不同封育年限荒漠草原土壤呼吸日、季动态变化及其影响因子 ··············· 贡璐,朱美玲,刘曾媛,张雪妮,解丽娜(1516) 塔里木盆地南缘典型绿洲土壤有机碳、无机碳与环境因子的相关性 ········· 贡璐,朱美玲,刘曾媛,张雪妮,解丽娜(1516)
台里不益地用涿典型琢洲工块有机恢、无机恢与环境囚丁的相大性 贝瑙,木美玲,刈胃菠,浓雪观,胖丽娜(1510)
小分子有机酸对紫色土及其溶液中 Pb 的赋存影响
为尼州石佃屋行来工装的形发以及依尔门湖开刊
水锰矿氧化水溶性硫化物过程及其影响因素
基于固相萃取及高效液相色谱-荧光检测分析的污泥中氟喹诺酮类抗生素研究方法的开发
業晓虎,薛勇刚,刘华杰,戴翎翎,严寒,李宁(1553) 养殖场周边土壤-蔬菜系统磺胺类药物残留及风险评价 金彩霞,司晓薇,王子英,张琴文(1562) 4种典型 PPCPs 对蚕豆和大蒜根尖细胞微核率的影响 王兰君,王金花,朱鲁生,王军,赵祥(1568)
4 种典型 PPCPs 对蚕豆和大蒜根尖细胞微核率的影响 ··················王兰君,王金花,朱鲁生,王军,赵祥(1568)
新型污染物卤代咔唑的环境行为及生态毒理效应 林坤德,陈艳秋,袁东星(1576)
新型污染物卤代咔唑的环境行为及生态毒理效应 ————————————————————————————————————
《环境科学》征订启事(1218) 《环境科学》征稿简则(1370) 信息(1352, 1412, 1498)

北京市典型室内外灰尘中重金属的粒径和季节变异特 征及人体暴露评估

曹治国^{1,2},余刚²,吕香英¹,王梦蕾¹,李琦路¹,冯精兰¹,闫广轩¹,余浩¹,孙剑辉^{1*}

(1. 河南师范大学环境学院,黄淮水环境污染与防治教育部重点实验室,河南省环境污染控制重点实验室,新乡 453007; 2. 清华大学环境学院,新兴有机污染物控制北京市重点实验室,北京 100084)

摘要:于 2012 年采集了 4 类分别来自于北京市办公室、宾馆、大学生宿舍和道路的灰尘样品,探究 Cu、Zn、Cr、Pb、Cd 和 Ni 等 6 种重金属元素在灰尘中的粒径分布规律.不同重金属在灰尘中的粒径分布规律呈现出不同特征,道路灰尘中重金属元素 更易于在细颗粒物上富集.分别于 2012 年 3~8 月和 2012 年 3~12 月对北京市一座办公楼内的 2 间办公室进行了每周 1 次和每 2 周 1 次的灰尘样品采集,发现 Cu、Zn、Cr、Pb、Cd 和 Ni 等 6 种重金属元素在灰尘中的含量随季节变化总体保持稳定,但 Cr 和 Pb 含量的波动性较其它 4 种重金属显著. 地积累指数法显示,Zn、Cu 和 Pb 在所测灰尘样品中污染程度较高,且 Zn 在办公室和宾馆灰尘中达到了中度污染水平. 人体健康风险评估结果显示,6 种重金属在 4 类灰尘中的非致癌健康风险值都远小于 1,即风险可以忽略.

关键词:灰尘;重金属;粒径;季节;风险

中图分类号: X513; X820.4 文献标识码: A 文章编号: 0250-3301(2016)04-1272-07 DOI: 10.13227/j. hjkx. 2016. 04.011

Particle Size Distribution, Seasonal Variation Characteristics and Human Exposure Assessment of Heavy Metals in Typical Settled Dust from Beijing

CAO Zhi-guo^{1, 2}, YU Gang², LÜ Xiang-ying¹, WANG Meng-lei¹, LI Qi-lu¹, FENG Jing-lan¹, YAN Guang-xuan¹, YU Hao¹, SUN Jian-hui^{1*}

(1. Henan Key Laboratory for Environmental Pollution Control, Key Laboratory for Yellow River and Huai River Water Environment and Pollution Control, Ministry of Education, School of Environment, Henan Normal University, Xinxiang 453007, China; 2. Beijing Key Laboratory for Emerging Organic Contaminants Control, School of Environment, Tsinghua University, Beijing 100084, China)

Abstract; Four types of dust from dormitories, offices, hotels and roads in Beijing were collected and fractionated into 9 fractions, respectively. Totally 36 samples were obtained and analyzed for heavy metals including Cu, Zn, Cr, Pb, Cd and Ni. Particle size distributions of those heavy metals in these four types of dust were investigated and the influencing mechanisms were discussed. Distribution patterns of the same heavy metal in different types of dust showed various characteristics. Also different metals in the same type of dust represented different distribution patterns. Heavy metals in road dust tended to concentrate in finer particles. Two offices from the same building, located in Beijing, China, were selected to study the seasonality of heavy metals in dust. Dust sampling from Office A was conducted at weekly intervals between March 2012 and August 2012, while dust from Office B was sampled fortnightly from March 2012 to December 2012. Generally, levels of all heavy metals remained stable among different seasons, however, Cr and Pb represented more significant fluctuations than other four heavy metals. Based on the geo-accumulation index method, the pollution of Zn, Cu and Pb was more serious in the investigated samples, and dust from offices and hotels were moderately polluted by Zn. According to the risk assessment results, the carcinogenic health risks of the six heavy metals in the four types of dust were negligible. Key words:dust; heavy metal; particle size; season; risk

灰尘是由成分、形貌、尺寸迥异的纤维和颗粒物所构成的复杂混合物,广泛存在于室内外环境中,是各种污染物的"储藏库"和人居环境污染状况的指示器.人主要通过皮肤接触、摄食、呼吸等途径对灰尘及其中蕴含的污染物产生暴露[1~4].

来源于室内应用、工业、交通等污染源的重金属元素富集在室内外灰尘中,进入环境后能够对人和生态系统产生持久性危害^[5,6]. 早在 20 世纪 80 年代,科学家就开始关注室内灰尘中的 Pb 污染及其

对人体健康的影响[7],随后科学家针对不同国家和地区室内灰尘中多种重金属的污染水平、来源、影

收稿日期: 2015-11-09; 修订日期: 2015-12-11

基金项目:中国博士后科学基金项目(2015M570629);河南师范大学博士科研启动课题项目(5101219170102,5101219170104);河南省高等学校重点科研计划项目(15A610005,15A610001);河南师范大学博士后流动站建设经费项目(5101219470205);国家自然科学基金项目(21507025)

作者简介: 曹治国(1984~),男,博士,讲师,主要研究方向为环境污染化学及人体暴露组学,E-mail: wq11ab@163.com

* 通讯联系人,E-mail: sunjh@htu.cn

响因素、人体暴露等问题展开了大量调查研究^[8,9].室内灰尘中重金属的污染水平通常高于室外灰尘^[10,11],加之人们在室内生活时间较长,因而室内灰尘中重金属的人体暴露及健康风险更加引人注目.然而,我国对灰尘中重金属的研究主要集中于室外地表灰尘,对于室内灰尘重金属污染特征的相关研究仅见于少量报道^[12,13].

粒径是表征灰尘性质的重要指标,灰尘中污染物的分布可能会因颗粒物粒径的不同存在差异^[14,15],灰尘是否能够粘附于皮肤表面进而产生人体暴露,也取决于灰尘粒径^[16].然而,关于重金属在灰尘中粒径分布规律的相关研究尚不多见^[17~19].此外,灰尘中重金属污染及人体暴露在时间尺度上的变化规律也逐渐引起了学者的关注,亟需加强室内灰尘重金属污染时间尺度变化的相关研究以提高污染评价的准确性^[20~23].

鉴于此,本研究以北京市 4 类典型室内外灰尘为例,探究重金属在灰尘中的粒径分布和季节变化规律,同时对北京市室内外灰尘中重金属的污染水平和健康风险进行评估,以期为推进城市环境重金属污染的防控提供数据支持.

1 材料与方法

1.1 样品采集及预处理

于2012年10月在北京市海淀区选择了室内陈设具有代表性的22间商务集体办公室、3座宾馆、40间大学生宿舍作为采样地,用吸尘器分别采集了地面降尘样品.在北京市三环道路上选择了10个采样点并用吸尘器采集了地面降尘样品(表1).把同一类型的灰尘样品混合在一起,并通过尼龙筛对每类混合样品进行粒径分级.每类灰尘共获得9个不同径级的样品[F1(900~2000 μm)、F2(500~900 μm)、F3(400~500 μm)、F4(300~400 μm)、F5(200~300 μm)、F6(100~200 μm)、F7(74~100 μm)、F8(50~74 μm)和F9(<50 μm)],共计获得36个样品以供分析(表2).

于2012年3月选取北京市海淀区一座办公楼中的2间办公室作为研究对象,依据这2间办公室的除尘习惯,对办公室A、B分别进行了每周1次和每2周1次的样品采集工作,办公室A的采样工作持续到2012年8月,办公室B的采样工作持续到2012年12月(表1).利用尼龙筛对所有样品进行筛分并取粒径<50μm部分,共计获得40个样品以供分析.

所有样品经铝箔包裹并用聚乙烯自封袋密封, 于 - 20℃保存.

表 1 灰尘样品的采样信息

Table 1 Sampling information for all dust samples

采样点	简称	样品质量/g	采样面积/m²
办公室(22 间)	0	930	~4 500
道路(10个样点)	R	139	~400
宾馆(3座)	H	260	~600
宿舍(40 间)	D	557	~ 1 400
办公室 A	OA	~20 g·↑ -1	~ 140
办公室 B	OB	~120 g•↑ ⁻¹	~ 550

表 2 不同径级灰尘样品质量/g

Table 2 Weight of the fractionated dust samples/g

				-
样品径级	办公室	宾馆	宿舍	道路
F1	65. 2	49. 8	46. 1	21.7
F2	79. 9	47. 4	31.8	49.0
F3	24. 2	23. 7	20.0	21.1
F4	44. 2	18. 6	23. 3	47. 0
F5	39. 3	13. 9	8.6	31.8
F6	90.6	39. 7	41.4	101
F7	60. 1	84. 0	21.6	54. 5
F8	102	96. 9	15. 4	51.1
F9	424	183	52. 2	35. 3

1.2 样品重金属的测定

所有样品采用石墨消解仪在混酸体系(HNO3-HF-HClO₄)下进行消解. 准确称量约0.2000g灰尘 样品于50 mL聚四氟乙烯消解管中,用去离子水润 湿,依次加入 5 mL HNO3、10 mL HF 和 2 mL HClO₄,在150℃条件下不加盖消解约2h,再依次加 人 5 mL HNO₃、10 mL HF 和 2 mL HClO₄,逐渐升温 至 200℃并加盖消解约 2~3 h. 重复上述步骤直至 消解液澄清,加入 10 mL 去离子水并浓缩至约 1 mL,定容于50 mL 容量瓶中待测. 使用电感耦合 等离子体质谱仪(ICP-MS)(X Series Ⅱ型;美国热 电公司)对Cu、Zn、Cd、Pb、Cr和Ni等6种在地表 灰尘重金属污染研究中普遍受到关注的重金属元素 进行定量测定. 采用国家标准土壤样品(GSS-3)做 回收率试验,所测元素的回收率均在90%~105% 之间. 用去离子水替代灰尘样品,按上述步骤进行 空白试验,每分析12个样品做2个空白试验.每分 析 12 个样品随机抽取 1 个样品作 4 次重复测定,所 有元素定量结果的相对标准偏差均小于15%.

1.3 污染评价

污染评价采用地累积指数法,这一方法早期主要用于定量研究沉积物中重金属的污染程度,近年来也被应用到灰尘重金属污染研究中^[24].其计算

公式为:

$$I_{\text{geo}} = \log_2 \left[\frac{C_n}{1.5 \times B_n} \right] \tag{1}$$

式中, C_n 代表办公室灰尘中第 n 类重金属的实测含量($mg \cdot kg^{-1}$); B_n 采 用 北 京 市 土 壤 背 景 值 ($mg \cdot kg^{-1}$) [25,26]; I_{geo} 则为灰尘中重金属的地累积污染指数, I_{geo} 值越大代表着办公室灰尘重金属污染程度越高.

1.4 暴露模型与参数

地面降尘中的重金属主要通过皮肤接触和灰尘 摄食被人体暴露^[4]. 具体暴露剂量按照下式计 算^[12,13].

经手-口摄食途径日平均暴露量[ADD_{ing}, mg·(kg·d)⁻¹]:

ADD
$$_{\text{ing}} = \frac{C \times \text{IngR} \times \text{CF} \times \text{EF} \times \text{ED}}{\text{BW} \times \text{AT}}$$
 (2)

皮肤接触日平均暴露量[ADD_{derm}, mg·(kg·d)⁻¹]:

$$ADD_{derm} = \frac{C \times SA \times CF \times SL \times ABS \times ED \times EF}{BW \times AT}$$

(3

参照美国 EPA 土壤健康风险评价方法^[27]及我国场地环境评价指南^[28],具体变量取值如表 3 所示.

表 3 地表灰尘重金属日平均暴露量计算参数取值

Table 3 Parameter values in average daily dose calculation

models of heavy metals in settled dust									
参数	物理意义	单位	取值						
\overline{C}	地表灰尘重金属暴露水平	mg•kg ⁻¹	本研究实测含量						
IngR	经手、口摄入灰尘频率	$mg \cdot d^{-1}$	100						
EF	暴露频率	d•a -1	180						
ED	暴露时间	a	24						
SA	暴露皮肤表面积	cm^2	2 140						
SL	皮肤粘着度	mg•cm ⁻²	0. 07						
ABS	皮肤吸收因子	无量纲	1.00×10^{-3}						
$\mathbf{B}\mathbf{W}$	平均体重	kg	70						
AT	平均暴露时间	d	ED×365(非致癌物)						

1.5 健康风险表征

由于缺乏灰尘摄食和皮肤接触致癌暴露量参考值^[28],因此本研究只考虑灰尘中重金属的非致癌效应:

$$HQ = \frac{ADD}{RfD} \tag{5}$$

$$HI = \sum HQ_i$$
 (6)

式中,HQ 为非致癌风险商,表征单种污染物的非致癌风险; RfD 为参考剂量[mg·(kg·d)⁻¹],表示在

单位时间单位体重摄取的不会引起人体不良反应的污染物最大量; HI 为多污染物多暴露途径的非致癌总风险; 当 HQ 或 HI < 1 时,认为风险较小或可以忽略, > 1 时认为存在非致癌风险.

2 结果与讨论

2.1 重金属的粒径分布规律

6 种重金属元素在 36 个不同径级灰尘样品中 都有检出,Cu、Zn、Pb、Cd、Cr和Ni的含量范围分 别为: 1.0~4500 mg·kg⁻¹(R1,O1)、4.0~4620 $mg \cdot kg^{-1}(R1, D1)$, 1.0 ~ 511 $mg \cdot kg^{-1}(R1, H1)$ $0.01 \sim 0.21 \text{ mg} \cdot \text{kg}^{-1} (R1, O1) , 3.0 \sim 552 \text{ mg} \cdot \text{kg}^{-1}$ (R1,H3)和1.0~228 mg·kg⁻¹(R1,H3). 重金属元 素在灰尘中的粒径分布规律复杂多变,总体表现出 3 种分布模式. 图 1 显示, 部分重金属元素在不同径 级灰尘颗粒上的分布呈现不规则波动,即无明显一 致性规律或含量在不同粒径段上的差异不大. 例如 办公室灰尘中的 Pb、Cd 和 Ni; 宿舍灰尘中的 Cu、 Cd、Cr和Ni. 部分情况下,重金属含量随灰尘粒径 的减小而升高,例如办公室灰尘中的 Cr、宿舍灰尘 中的 Pb、宾馆灰尘中的 Cu 和 Zn、以及道路灰尘中 的Cu、Zn、Pb、Cd、Cr和Ni. 部分情况下,重金属 的含量随灰尘粒径的减小而降低,例如办公室灰尘 中的 Cu、宿舍灰尘中的 Zn 和宾馆灰尘中的 Pb. 此 外,部分重金属元素在粗颗粒中表现出异常高值,如 办公室灰尘中的 Cu 在 400~500 μm、500~900 μm 和 900~2000 µm 粒径段的含量分别达到4270、 2 190和4 500 mg·kg⁻¹; 宿舍灰尘中的 Zn 在 900~ 2 000 μm 粒径段的含量达到4 620 mg·kg⁻¹; 宾馆灰 尘中的 Pb、Cr、Ni 和 Cd 在 900 ~ 2 000 μm、400 ~ 500 μm、400~500 μm 和 400~500 μm 粒径段的含 量分别达到511、552、228 和 0. 20 mg·kg⁻¹(图 1).

由图1可知,不同重金属元素在同一类室内灰尘中通常表现出不同的粒径分布规律.然而,同一种重金属元素在不同类型灰尘中也会表现出不同的粒径分布规律,如 Cu 在办公室和道路灰尘中的粒径分布规律迥异,Zn 在4类灰尘中的粒径分布规律互不相同.从空间差异上看,室内外灰尘中重金属的粒径分布差异显著.道路灰尘中不同重金属表现出的粒径分布规律较为一致,而3类室内灰尘中不同重金属元素并未表现出一致的粒径分布规律.由此可见,粒径分布规律受到重金属来源以及灰尘性质的双重影响.

在灰尘重金属污染及人体暴露研究中,灰尘的

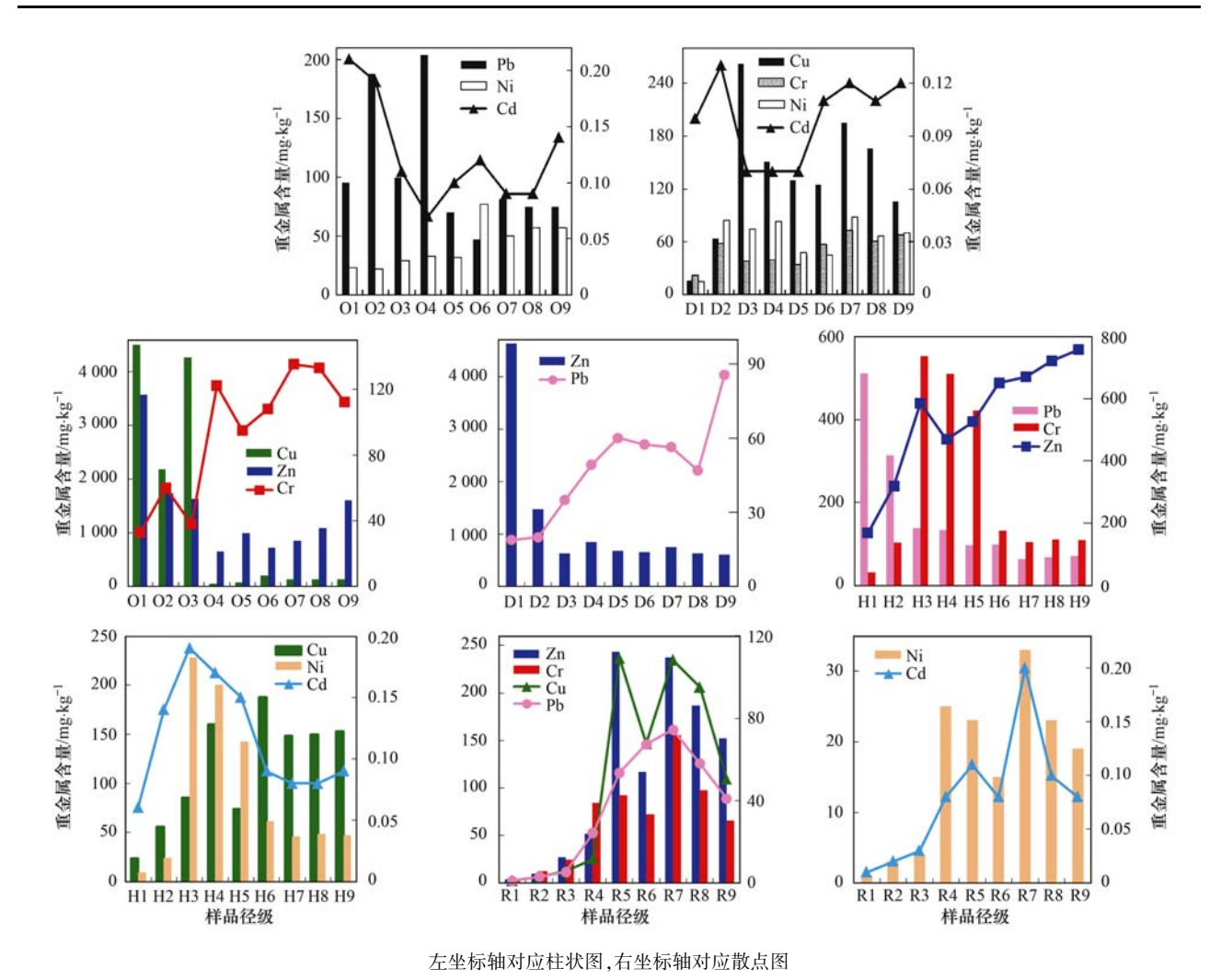


图 1 重金属在 4 类灰尘中的粒径分布

Fig. 1 Particle size distribution patterns of heavy metals in four types of dust

粒径选择方式十分多样^[17]. 表 4 呈现了 4 种典型粒径选择方式下重金属含量的评估结果. 由此可以看出,对于大多数重金属元素,粒径选择方式对含量评估结果的影响可以忽略,不同粒径选择方式所得的评估结果一致性较好. 仅仅在办公室和道路灰尘中Cu、宿舍灰尘中Zn和Pb、宾馆灰尘中Pb的含量会因粒径选择方式的不同而有较大差异(4 种粒径选择方式评估结果之间的RSD > 20%).

由表 4 可知,总体上灰尘中 Zn、Cu 含量最高,Pb、Cr、Ni 含量相当,而 Cd 含量最低.且 Zn 在办公室、宿舍灰尘中的污染在世界范围内都处于较高水平^[20,29].重金属在室内灰尘中的污染水平普遍高于道路,这也进一步说明了室内灰尘中重金属的累积高于室外,需要引起重视^[29,30].具体来讲,Zn、Cu 在办公室灰尘中的含量最高,在道路灰尘中含量最低,这可能是由于室内的 Cu、Zn 金属制品在使用过程中因受到加热和磨损对室内灰尘造成了污

表 4 不同粒径选择方式对重金属含量分析的影响 $/mg \cdot kg^{-1}$

Table 4 Influence of selection mode of dust fraction on heavy metal content analysis/mg·kg⁻¹

neavy metal content analysis/ mg kg								
样品 类型	粒径	Cu	Zn	Pb	Cd	Cr	Ni	
	< 2 mm	729	1 500	90. 5	0. 13	103	50. 2	
0	< 500 µm	266	1 300	80. 2	0.12	114	55.3	
U	< 200 µm	148	1 350	71.9	0. 13	117	59. 1	
	$< 50~\mu\mathrm{m}$	140	1 610	75.0	0.14	112	57. 0	
	< 2 mm	116	1 473	48. 7	0.11	50. 9	60. 3	
D	< 500 μm	150	678	61.2	0.10	56. 9	67. 4	
D	< 200 µm	134	652	67. 4	0.12	64. 5	64. 7	
	$< 50~\mu\mathrm{m}$	106	610	85.8	0.12	68. 0	70.0	
	< 2 mm	130	618	138	0.10	144	57. 8	
Н	$< 500 \ \mu m$	149	697	79.4	0.10	160	66.6	
п	$< 200 \ \mu m$	155	720	72. 7	0.09	112	48.4	
	$< 50~\mu\mathrm{m}$	153	757	72. 6	0.09	110	47. 0	
	< 2 mm	57. 6	123	45. 0	0.09	75. 1	17. 7	
R	< 500 µm	68.7	149	53.6	0.10	88. 4	20.8	
ĸ	< 200 µm	79. 7	163	63.3	0.11	94. 2	21. 1	
	<50 µm	50. 5	152	41.0	0.08	65.0	19. 0	

染^[29]; Pb 和 Ni 在办公室、宿舍和宾馆中的污染水平相当,在道路灰尘中最低; Cd 在 4 类灰尘样品中含量相当; Cr 在办公室和宾馆灰尘中含量相当,在宿舍灰尘中最低.

2.2 重金属的季节变化规律

办公室 A、B 中重金属含量最高的元素均为 Zn (办 公 室 A: 2 270 mg·kg⁻¹, 办 公 室 B: 2 550 mg·kg⁻¹),其次为 Cu(办公室 A:181 mg·kg⁻¹,办公室 B:198 mg·kg⁻¹),含量最低的重金属元素均为 Cd (办 公 室 A: 3.08 mg·kg⁻¹, 办 公 室 B: 3.66 mg·kg⁻¹,见表 5.

本研究通过连续高密度采样,集中探讨了办公室灰尘中重金属污染的季节变化规律. 结果表明6种重金属在办公室灰尘中都未呈现出明确的季节变化规律. 图 2显示6种重金属的总含量随季节变化保持稳定(办公室 A: RSD 为 15.8% ~ 49.2%;办

公室 B: RSD 为 12.3% ~ 72.1%), 与少量相关研 究结果一致[20]. 然而,统计结果显示,不同重金属 含量随季节变化的波动性有所不同. 相比之下,Cr 和Pb波动性较强. 办公室A、B灰尘中Cr和Pb 的含量范围分别为 13.1~151 mg·kg⁻¹(RSD= 49.2%)、8.7 ~ 276 $\text{mg} \cdot \text{kg}^{-1}$ (RSD = 72.1%) 和 $8.6 \sim 179 \text{ mg} \cdot \text{kg}^{-1} (\text{RSD} = 48.7\%)$, $14.9 \sim 92.9$ mg·kg⁻¹(RSD = 39.8%),其变异系数显著高于其 它4种重金属. 含量数据的波动性也反映了基于 不同时段采样分析所获得的数据之间可能会存在 较大的偏差. 进而说明在室内外灰尘重金属污染 及人体暴露研究中通过单点单次采样所获得的评 估数据存在一定的随机性,可靠性值得质疑. 同 时,通过分季节、每年2~4次采样去探究室内外 灰尘中重金属污染的季节变化规律[21~23],所得结 果也不够可靠.

表 5 办公室灰尘中重金属含量统计/mg·kg-1

Table 5	Level of heav	metals in o	dust in the	two offices/mg	· kg - 1

重金属		办公室 A				办么	办公室 B	
里並馮	Mean	MIN	MAX	RSD/%	Mean	MIN	MAX	RSD/%
Cu	192	131	302	23. 2	200	163	276	17. 7
\mathbf{Cr}	77. 6	13. 1	152	49. 2	59. 0	8. 7	157	72. 1
Zn	2 310	1 800	3 300	15. 8	255	2 000	3 080	12. 3
Cd	3. 1	1.2	5. 5	30. 2	3.7	2. 2	5. 0	26. 0
Pb	77. 2	8.6	179	48. 7	47. 1	14. 9	92. 9	39. 8
Ni	68. 2	40. 0	105	25. 6	83. 9	45. 9	109	27.8

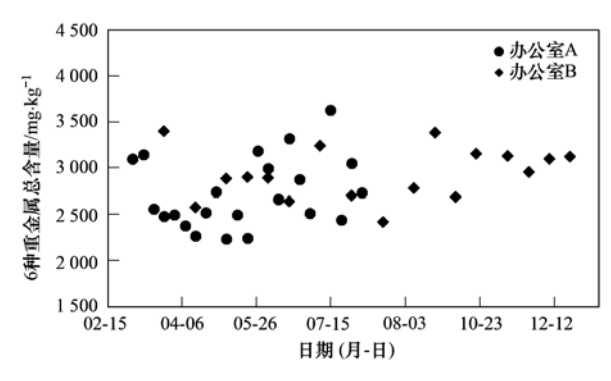


图 2 办公室灰尘中重金属总含量的季节变化

Fig. 2 Seasonal variation of heavy metals contents in office dust

2.3 污染评价及人体健康风险评估

为了体现评估结果的统计学意义,仅对 4 类混合灰尘样品进行了重金属污染及人体健康风险评估.由于粒径选择方式对重金属含量分析结果的影响不大,且细颗粒物更易于被人体暴露,故只针对 < 50 μm 的粒径选择方式进行了重金属污染评价. 地积累指数法显示, Zn、Cu、Pb 和Cr 在办公室、宾馆、宿舍、道路灰尘中大部分处

于轻度污染以上水平,尤其是 Zn 在办公室和宾馆中已经达到了中度污染水平,需要引起一定的重视. Cd 和 Ni 在 4 类混合灰尘样品中都处于无污染状态(表 6).

灰尘中重金属的人体健康风险包括致癌健康风险和非致癌健康风险两部分,暴露途径则包括呼吸、摄食及皮肤接触这3种途径^[12].然而,呼吸暴露与摄食及皮肤接触对灰尘的粒径选择性迥然不同^[31].当前多数研究并未注意到这个问题,普遍使用采集自同一灰尘样品的重金属分析结果进行3种暴露途径的健康风险评估^[12,13],而未考虑到3种暴露途径在灰尘粒径选择性方面的显著差异,由此对评估结果的准确性产生了一定影响.本研究避免了这个问题,只针对摄食和皮肤接触两种暴露途径开展了非致癌健康风险评估.评估结果显示(表6),6种重金属在4类灰尘中的非致癌健康风险值都远小于1,即风险可以忽略.但相比之下,Pb与Cr对人体造成的健康风险较其它4种重金属略高,需要引起一定重视.

	Table 6	Assessment results	of geoaccumulation	index and non-car	cinogenic risks of l	neavy metals	
$I_{ m geo}$	Cu	Zn	Pb	Cd	Cr	Ni	
0	2. 32	4. 23	1. 02	-0.35	1. 33	0.50	
D	1. 91	2. 82	1. 22	-0.57	0.61	0.80	
Н	2. 44	3. 13	0. 98	-0.99	1.30	0. 23	
R	0. 85	0.82	0. 15	-1.16	0. 54	-1.08	
HI	Cu	Zn	Pb	Cd	Cr	Ni	∑HI
0	2. 47E-03	3. 82E-03	1. 52E-02	1. 13E-04	2. 83E-02	2. 02E-03	5. 19E-02
D	1.87E-03	1. 44E-03	1.74E-02	9. 72E-05	1.72E-02	2. 48E-03	4. 05E-02
Н	2. 70E-03	1. 79E-03	1.48E-02	7. 29E-05	2.78E-02	1.66E-03	4. 88E-02
R	8. 94E-04	3. 60E-04	8. 34E-03	6. 48E-05	1.64E-02	6. 73E-04	2. 67E-02

表 6 地积累指数 (I_{geo}) 和重金属非致癌风险 (HI) 评价结果

3 结论

- (1)北京市室内外灰尘中 Zn、Cu 的含量及污染水平都显著高于 Pb、Cd、Cr 和 Ni; 而 Pb、Cr 的人体非致癌健康风险在 6 种重金属中处于相对较高水平,室内灰尘中重金属的积累显著高于道路.
- (2)室内外重金属在灰尘中的粒径分布规律存在显著差异;重金属来源以及环境类型都对灰尘中重金属的粒径分布产生重要影响;不同粒径选择方式对灰尘中重金属的分析结果不会产生显著影响.
- (3)重金属在办公室灰尘中的含量随季节变化保持总体稳定,但相比之下 Cr、Pb 的波动性较强. 参考文献:
- [1] 段海静, 蔡晓强, 阮心玲, 等. 开封市公园地表灰尘重金属 污染及健康风险[J]. 环境科学, 2015, **36**(8): 2972-2980.
- [2] Praveena S M, Mutalib N S A, Aris A Z. Determination of heavy metals in indoor dust from primary school (Sri Serdang, Malaysia): estimation of the health risks [J]. Environmental Forensics, 2015, 16(3): 257-263.
- [3] Butte W, Heinzow B. Pollutants in house dust as indicators of indoor contamination [J]. Reviews of Environmental Contamination and Toxicology, 2002, 175; 1-46.
- [4] Frederiksen M, Vorkamp K, Thomsen M, et al. Human internal and external exposure to PBDEs-a review of levels and sources [J]. International Journal of Hygiene and Environmental Health 2009, 212(2): 109-134.
- [5] 杨忠平,王雷,翟航,等. 长春市城区近地表灰尘重金属健康风险评价[J]. 中国环境科学,2015,35(4):1247-1255.
- [6] 李崇,李法云,张营,等. 沈阳市街道灰尘中重金属的空间 分布特征研究[J]. 生态环境, 2008, **17**(2): 560-564.
- [7] Chattopadhyay G, Lin K C P, Feitz A J. Household dust metal levels in the Sydney metropolitan area [J]. Environmental Research, 2003, 93(3): 301-307.
- [8] Wang W, Wu F Y, Zheng J S, et al. Risk assessments of PAHs and Hg exposure via settled house dust and street dust, linking with their correlations in human hair[J]. Journal of Hazardous Materials, 2013, 263: 627-637.

- [9] Rasmussen P E, Levesque C, Chénier M, et al. Canadian house dust study: population-based concentrations, loads and loading rates of arsenic, cadmium, chromium, copper, nickel, lead, and zinc inside urban homes [J]. Science of the Total Environment, 2013, 443: 520-529.
- [10] Lin Y S, Fang F M, Wang F, et al. Pollution distribution and health risk assessment of heavy metals in indoor dust in Anhui rural, China [J]. Environmental Monitoring and Assessment, 2015, 187(9): 565.
- [11] Glorennec P, Lucas J P, Mandin C, et al. French children's exposure to metals via ingestion of indoor dust, outdoor playground dust and soil: contamination data [J]. Environment International, 2012, 45: 129-134.
- [12] 常仕镭, 叶芝祥. 成都市地表灰尘重金属污染分布特征及健康风险评价[J]. 中国环境监测, 2014, **30**(2): 70-75.
- [13] 常静, 刘敏, 李先华, 等. 上海地表灰尘重金属污染的健康 风险评价[J]. 中国环境科学, 2009, **29**(5); 548-554.
- [14] Meng Q Z, Fan S X, He J B, et al. Particle size distribution and characteristics of polycyclic aromatic hydrocarbons during a heavy haze episode in Nanjing, China [J]. Particuology, 2015, 18: 127-134
- [15] Liu X T, Zhai Y B, Zhu Y, et al. Mass concentration and health risk assessment of heavy metals in size-segregated airborne particulate matter in Changsha [J]. Science of the Total Environment, 2015, 517: 215-221.
- [16] Mercier F, Glorennec P, Thomas O, et al. Organic contamination of settled house dust, a review for exposure assessment purposes [J]. Environmental Science & Technology, 2011, 45(16): 6716-6727.
- [17] 常静, 刘敏, 李先华, 等. 上海城市地表灰尘重金属污染粒级效应与生物有效性[J]. 环境科学, 2008, **29**(12): 3489-3495.
- [18] Zhao H T, Li X Y, Wang X M, et al. Grain size distribution of road-deposited sediment and its contribution to heavy metal pollution in urban runoff in Beijing, China [J]. Journal of Hazardous Materials, 2010, 183(1-3): 203-210.
- [19] Zhou Q H, Zheng N, Liu J S, et al. Residents health risk of Pb, Cd and Cu exposure to street dust based on different particle sizes around zinc smelting plant, Northeast of China [J].

- Environmental Geochemistry and Health, 2015, 37 (2): 207-220.
- [20] 林跃胜,方凤满,徐明露,等.室内灰尘重金属污染研究进展[J].城市环境与城市生态,2015,28(3):29-34.
- [21] 李晓燕, 张舒婷. 城市区域近地表灰尘及重金属沉降垂向季节变化[J]. 环境科学, 2015, **36**(6): 2274-2282.
- [22] 李晓燕. 季节变化对贵阳市不同功能区地表灰尘重金属的影响[J]. 环境科学, 2013, **34**(6): 2407-2415.
- [23] 胡军,李晓燕,曹益金. 贵阳城区垃圾站周边地表灰尘重金 属水平及季节分异[J]. 地球与环境,2012,40(4):584-588
- [24] 姬亚芹,朱坦,冯银厂,等. 应用地质累积指数分析城市颗粒物源解析土壤风沙尘的污染[J]. 农业环境科学学报,2006,25(4):949-953.
- [25] 闫慧, 陈杰, 肖军. 典型农业城市街道灰尘重金属特征及其环境风险评价: 以许昌市为例[J]. 环境科学, 2013, 34

- (10): 4017-4023.
- [26] 陈同斌,郑袁明,陈煌,等.北京市土壤重金属含量背景值的系统研究[J].环境科学,2004,25(1):117-122.
- [27] USEPA. Supplemental guidance for developing soil screening levels for superfund sites [R]. Washington: US Environmental Protection Agency, 2002.
- [28] 胡二邦. 环境风险评价实用技术和方法[M]. 北京: 中国环境科学出版社, 2000. 163-180.
- [29] 张舒婷, 李晓燕. 城市室内灰尘重金属的水平及来源[J]. 环境化学, 2014, 33(7): 1201-1207.
- [30] 方凤满,林跃胜,王海东,等. 城市地表灰尘中重金属的来源、暴露特征及其环境效应[J]. 生态学报,2011,31(23):7301-7310.
- [31] Cao Z G, Yu G, Chen Y S, et al. Particle size: a missing factor in risk assessment of human exposure to toxic chemicals in settled indoor dust[J]. Environment International, 2012, 49: 24-30.

HUANJING KEXUE

Environmental Science (monthly)

Vol. 37 No. 4 Apr. 15, 2016

CONTENTS

Chemical Characteristics of Particulate Matters and Trajectory Influence on Air Quality in Shanghai During the Heavy Haze Episode	in December, 2013
Analysis of Single Particle Aging and Mixing State at an Agriculture Site (Quzhou) in the North China Plain in Summer Using a Sir	ngle Particle Aerosol Mass Spectrometer
	··· HUANG Zi-long, ZENG Li-min, DONG Hua-bin, et al. (1188)
Investigation of Aerosol Mixed State and CCN Activity in Nanjing	
Characteristics of Number Concentration Size Distributions of Aerosols Under Different Weather Processes in Beijing	
Temporal and Spatial Distribution Characteristics of PM _{2.5} in Chongqing Urban Areas	··· LIU Yong-lin, SUN Qi-min, ZHONG Ming-yang, et al. (1219)
Comparison of Monitoring Methods of Organic Carbon and Element Carbon in Atmospheric Fine Particles	
Residue Characteristics of Perfluorinated Compounds in the Atmosphere of Shenzhen	
$Monitoring \ Atmospheric \ CO_2 \ and \ \delta^{13}C(\ CO_2) \ \ Background \ Levels \ at \ Shangdianzi \ Station \ in \ Beijing, China $	········ XIA Ling-jun, ZHOU Ling-xi, LIU Li-xin, et al. (1248)
Concentration and Size Distribution of Bioaerosols in Indoor Environment of University Dormitory During the Plum Rain Period · · · · · ·	
Air Microbial Pollution and Health Risk of Urban Black Odorous Water	······ LIU Jian-fu, CHEN Jing-xiong, GU Shi-you (1264)
Particle Size Distribution, Seasonal Variation Characteristics and Human Exposure Assessment of Heavy Metals in Typical Settled D	ust from Beijing ·····
	······ CAO Zhi-guo, YU Gang, LÜ Xiang-ying, et al. (1272)
Distribution Characteristics and Source Analysis of Polycyclic Aromatic Hydrocarbons (PAHs) in Surface Dust of Xi'an City, China	······ WANG Li, WANG Li-jun, SHI Xing-min, et al. (1279)
Toluene, Benzene and Acetone Adsorption by Activated Carbon Coated with PDMS	LIU Han-bing, JIANG Xin, WANG Xin, et al. (1287)
Distribution Characteristics, Sources and Pollution Assessment of Trace Elements in Surficial Sediments of the Coastal Wetlands, No	rtheastern Hainan Island
	··· ZHANG Wei-kun, GAN Hua-yang, BI Xiang-yang, et al. (1295)
Heavy Metals Accumulation in the Caofeidian Reclamation Soils: Indicated by Soil Magnetic Susceptibility	
Characteristics of Stable Isotopes in Precipitation and Their Moisture Sources in Mengzi Region, Southern Yunnan	
GIS Spatial Distribution and Ecological Risk Assessment of Heavy Metals in Surface Sediments of Shallow Lakes in Jiangsu Province	
Microcosm Simulation Study and Methylmercury Forming Mechanism at Landscape Water of City	
Seasonal Stratification and the Response of Water Quality of a Temperate Reservoir—Zhoucun Reservoir in North of China	
Hydrochemical Characteristics of Snow Meltwater and River Water During Snow-melting Period in the Headwaters of the Ertis River,	
Type control of the state of th	WEI Hong WII lin-kui SHEN Yong-ping et al. (1345)
Relationship Between the Phytoplankton Distribution and Environmental Factors in Fenhe Scenic Spot of Taiyuan	
Distribution Characteristics of Nitrifiers and Denitrifiers in the River Sediments of Tongling City	
Contribution of Base Flow to Total Nitrogen Loading in Subtropical Agricultural Catchments	
Characteristics and Transport Patterns of Ammonia, Nitrites, Nitrates and Inorganic Nitrogen Flux at Epikarst Springs and a Subterra	
Characteristics and transport ratterns of Aminonia, Murices, Mitates and morganic Mitagen Piux at Epikaisi Springs and a Subteria	ZHANG Vuon aby HE Giv fong HANG Vong ive et al. (1370)
Pollution Characteristics and Evaluation of Nitrogen, Phosphorus and Organic Matter in Sediments of Shanmei Reservoir in Fujian, Cl	
Effect of Elodea nuttallii-immobilized Nitrogen Cycling Bacteria on Nitrogen Removal Mechanism in an Inflow River, Gonghu Bay	
Spatial and Temporal Distribution Characteristics of Different Forms of Phosphorus in Three Sorts of Rivers around Lake Taihu	
Distribution of Phosphorus Forms in the Overlying Water Under Disturbance with the Addition of Algae	
Impacts of Sediment Disturbance on the Distribution of Suspended Particle Size and Phosphorus	
Effect of Zirconium Modified Kaolin-Based Cap on Migration and Transformation of Phosphorus Between Sediment and Overlying Wa	der
Toxicity of 4-Chlorophenol Solution Under Electrochemical Reduction-oxidation Process	WANG Y SHANG THE WANG HE WANG HE WANG THE WANG T
Removal and Recycle of Phosphor from Water Using Magnetic Core/Shell Structured Fe ₃ O ₄ @ SiO ₂ Nanoparticles Functionalized with	h Hydrous Aluminum Oxide
Occurrence and Removal of Polycyclic Aromatic Hydrocarbons and Their Derivatives in Typical Wastewater Treatment Plants in Beij	
Spectral Characteristics of Dissolved Organic Matters in Reject Water from Wastewater Treatment Plants	
Feasibility and Economic Analysis of Denitrification of Photovoltaic Wastewater Containing High Fluorine	LI Xiang, ZHU Liang, HUANG Yong, et al. (1467)
Quick Start-up and Sustaining of Shortcut Nitrification in Continuous Flow Reactor	
Performance Recoverability of Denitrifying Granular Sludge Under the Stressing Effect of Nanoscale Zero-valent Iron	
Effect of Low-concentration Ciprofloxacin on the Nitrification and Nitrifying Microorganisms of Biofilms in Biological Aerated Filter	
Optimization Study on the Nitrogen and Phosphorus Removal of Modified Two-sludge System Under the Condition of Low Carbon Sou	irce ·····
	YANG Wei-qiang, WANG Dong-bo, LI Xiao-ming, et al. (1492)
Effects of Short-time Conservation Tillage Managements on Greenhouse Gases Emissions from Soybean-Winter Wheat Rotation System	n ······· XIE Yan, CHEN Xi, HU Zheng-hua, et al. (1499)
Diurnal and Seasonal Dynamic Variation of Soil Respiration and Its Influencing Factors of Different Fenced Enclosure Years in Dese	rt Steppec ····· CUI Hai, ZHANG Ya-hong (1507)
Correlation Among Soil Organic Carbon, Soil Inorganic Carbon and the Environmental Factors in a Typical Oasis in the Southern Ed	ge of the Tarim Basin
	GONG Lu, ZHU Mei-ling, LIU Zeng-yuan, et al. (1516)
Effects of Low-Molecular-Weight Organic Acids on the Speciation of Pb in Purple Soil and Soil Solution	
Phytoremediation of Petroleum Contaminated Soils with Iris pseudacorus L. and the Metabolic Analysis in Roots	
Oxidation Process of Dissolvable Sulfide by Manganite and Its Influencing Factors	
Screening and Enzyme Production Characteristics of Thermophilic Cellulase-producing Strains	
Development of Determination Method of Fluoroquinolone Antibiotics in Sludge Based on Solid Phase Extraction and HPLC-Fluoresco	ence Detection Analysis · · · · · · · · · · · · · · · · · ·
20 copins of occumination and the copins of	DAI Xiao-hu. XUE Yong-gang LIU Hua-iie. et al. (1553)
Distribution and Risk Assessment of Sulfonamides Antibiotics in Soil and Vegetables from Feedlot Livestock	
Influence of Four Kinds of PPCPs on Micronucleus Rate of the Root-Tip Cells of Vicia-faba and Garlic	
Environmental Behaviors and Ecotoxicology of the Emerging Contaminants Polyhalogenated Carbazoles	
Classification of Priority Area for Soil Environmental Protection Around Water Sources; Method Proposed and Case Demonstration	
Glassification of Friority Area for con Environmental Frotection Abunda water counces; include Froposco and Case Demonstration	11 1.c., with the ya, with the Mau-juii, & M. (1304)

《环境科学》第6届编辑委员会

主 编:欧阳自远

副主编:赵景柱 郝吉明 田 刚

编 委: (按姓氏笔画排序)

万国江 王华聪 王凯军 王绪绪 田 刚 田 静 史培军

朱永官 刘志培 刘 毅 汤鸿霄 孟 伟 周宗灿 林金明

欧阳自远 赵景柱 姜 林 郝郑平 郝吉明 聂永丰 黄 霞

黄耀 鲍强潘纲潘涛魏复盛

环维种草

(HUANJING KEXUE)

(月刊 1976年8月创刊)

2016年4月15日 第37卷 第4期

ENVIRONMENTAL SCIENCE

(Monthly Started in 1976)

Vol. 37 No. 4 Apr. 15, 2016

		,,, ., ., ., ., ., ., ., ., .			
主	管	中国科学院	Superintended	by	Chinese Academy of Sciences
主	办	中国科学院生态环境研究中心	Sponsored	by	Research Center for Eco-Environmental Sciences, Chinese
协	办	(以参加先后为序)			Academy of Sciences
		北京市环境保护科学研究院	Co-Sponsored	by	Beijing Municipal Research Institute of Environmental
		清华大学环境学院			Protection
主	编	欧阳自远			School of Environment, Tsinghua University
编	辑	《环境科学》编辑委员会	Editor-in -Chief		OUYANG Zi-yuan
>m	7-4	北京市 2871 信箱(海淀区双清路	Edited	by	The Editorial Board of Environmental Science (HUANJING
		18号,邮政编码:100085)			KEXUE)
		电话:010-62941102,010-62849343			P. O. Box 2871, Beijing 100085, China
		传真:010-62849343			Tel:010-62941102,010-62849343; Fax:010-62849343
		E-mail; hjkx@ reees. ac. cn			E-mail; hjkx@ reees. ac. en
		http://www.hjkx.ac.cn			http://www.hjkx.ac.cn
出	版	4 学业版社	Published	by	Science Press
-	742	北京东黄城根北街 16 号			16 Donghuangchenggen North Street,
		邮政编码:100717			Beijing 100717, China
印刷装	ŧ订	北京北林印刷厂	Printed	by	Beijing Bei Lin Printing House
发	行	斜学出版社	Distributed	by	Science Press
		电话:010-64017032			Tel:010-64017032
		E-mail:journal@mail.sciencep.com			E-mail: journal@ mail. sciencep. com
订 购	处	全国各地邮电局	Domestic		All Local Post Offices in China
国外总统	发行	中国国际图书贸易总公司	Foreign		China International Book Trading Corporation (Guoji
		(北京399信箱)			Shudian), P. O. Box 399, Beijing 100044, China

中国标准刊号: ISSN 0250-3301 CN 11-1895/X

国内邮发代号: 2-821

国内定价:120.00元

国外发行代号: M 205

国内外公开发行